



(12) **EUROPÄISCHE PATENTANMELDUNG**

(43) Veröffentlichungstag:
19.04.2017 Patentblatt 2017/16

(51) Int Cl.:
H01L 51/30 (2006.01) **H01L 51/54** (2006.01)
C07F 15/00 (2006.01)

(21) Anmeldenummer: **16203223.9**

(22) Anmeldetag: **18.06.2008**

(84) Benannte Vertragsstaaten:
AT BE BG CH CY CZ DE DK EE ES FI FR GB GR HR HU IE IS IT LI LT LU LV MC MT NL NO PL PT RO SE SI SK TR

(72) Erfinder:
• **Schmid, Günter**
91334 Hemhofen (DE)
• **Krause, Ralf**
91074 Herzogenaurach (DE)

(30) Priorität: **20.06.2007 DE 102007028238**

(62) Dokumentnummer(n) der früheren Anmeldung(en) nach Art. 76 EPÜ:
08773272.3 / 2 158 625

(74) Vertreter: **Epping - Hermann - Fischer**
Patentanwalts-gesellschaft mbH
Schloßschmidstraße 5
80639 München (DE)

(71) Anmelder: **OSRAM OLED GmbH**
93049 Regensburg (DE)

Bemerkungen:

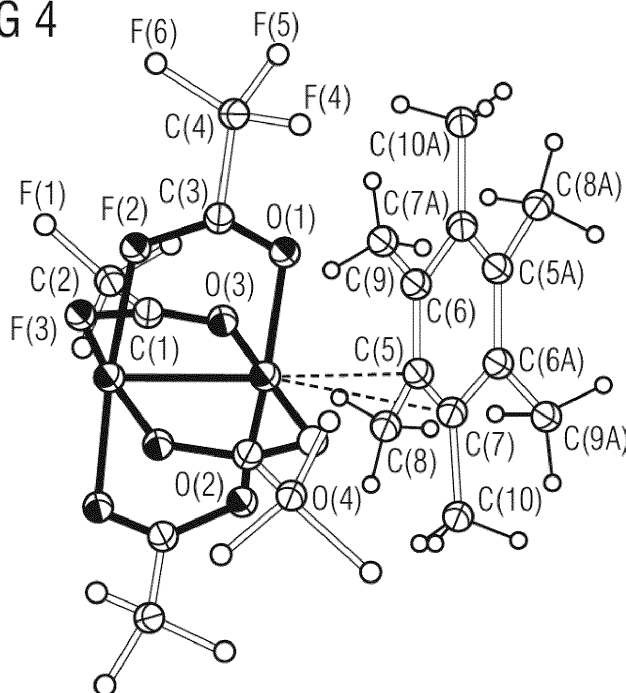
Diese Anmeldung ist am 09-12-2016 als Teilanmeldung zu der unter INID-Code 62 erwähnten Anmeldung eingereicht worden.

(54) **VERWENDUNG EINES METALLKOMPLEXES ALS P-DOTAND FÜR EIN ORGANISCHES HALBLEITENDES MATRIXMATERIAL, ORGANISCHES HALBLEITERMATERIAL UND ORGANISCHE LEUCHTDIODE**

(57) Die Erfindung betrifft die Verwendung eines Metallkomplexes als p-Dotand für ein organisches halbleitendes Matrixmaterial, ein organisches Halbleitermaterial und eine organische Leuchtdiode. Die Erfindung of-

fenbart dabei die Verwendung von Metallkomplexen, die als Lewis-Säuren fungieren, als p-Dotanden in organischen Matrixmaterialien.

FIG 4



Beschreibung

[0001] Die Erfindung betrifft die Verwendung eines Metallkomplexes als p-Dotand für ein organisches halbleitendes Matrixmaterial, ein organisches Halbleitermaterial und organische Leuchtdiode.

[0002] Die Dotierung organischer halbleitender Materialien mit Elektronenakzeptoren zur Erhöhung der Leitfähigkeit in organischen Matrixmaterialien ist beispielsweise aus der WO 2005/086251 bekannt. Dort werden Metallkomplexe, insbesondere mehrkernige Metallkomplexe wie die sogenannten Schaufelradkomplexe (paddle-wheel) wegen ihrer starken Donoreigenschaften als n-Dotanden für die Elektroneninjektion beschrieben.

[0003] Es besteht jedoch ein Bedarf, p-Dotanden zur Dotierung der Lochinjektionsschicht zur Verfügung zu stellen.

[0004] Aufgabe der vorliegenden Erfindung ist es daher, p-Dotanden für eine lochleitende Matrix anzugeben und die Verwendungen derart dotierter lochleitender Matrixmaterialien in einer strahlungsemitternden Vorrichtung, insbesondere einer organischen Leuchtdiode (OLED), zu offenbaren.

[0005] Diese Aufgabe wird durch die Merkmale der unabhängigen Ansprüche, insbesondere durch die Verwendung von neutralen Metallkomplexen mit Lewis-Säure Charakter als p-Dotanden in lochleitenden organischen Matrixmaterialien gelöst. Ferner wird die Aufgabe durch die Bereitstellung eines organischen halbleitenden Materials mit einer Verbindung eines solchen Metallkomplexes mit Lewis-Säure Charakter als p-Dotand gelöst. Schließlich wird die Aufgabe noch durch die Angabe von OLEDs mit zumindest einer Schicht eines erfindungsgemäßen organischen Matrixmaterials gelöst.

[0006] Gegenstand der Erfindung ist die Verwendung eines neutralen Metallkomplexes mit Lewis-Säure Eigenschaften als p-Dotand eines organischen halbleitenden Matrixmaterials. Weiterhin ist Gegenstand der Erfindung eine Lochleiterschicht, bestehend aus einem lochleitenden organischen Matrixmaterial mit einem Anteil von 0,1 bis 50 (Schichtdicken%) an Metallkomplex als p-Dotanden. Schließlich ist Gegenstand der Erfindung eine OLED, zumindest eine Schicht eines dotierten Lochleitermaterials umfassend, das einen Metallkomplex als p-Dotanden enthält.

[0007] Lewis-Säuren sind Verbindungen, die als Elektronenpaarakzeptoren wirken. Eine Lewis-Base ist dementsprechend ein Elektronenpaardonator, der Elektronenpaare abgeben kann. Insbesondere ist die Lewis-Säure-Eigenschaft der Metallkomplexe in Bezug auf das lochleitende organische Matrixmaterial zu setzen, das dann die korrespondierende Lewis-Base darstellt (bzw. enthält).

[0008] Ein Metallkomplex ist eine Verbindung, in der ein Metallatom bzw. Metallion von einem oder mehreren Liganden koordiniert ist. Im Regelfall ist der Metallkomplex eine metallorganische Verbindung, d.h. ein Komplex, bei dem zumindest ein Teil der Liganden Kohlen-

stoff-haltig und häufig auch Kohlenwasserstoff-haltig ist.

[0009] Vorteilhafterweise handelt es sich bei dem Metallkomplex um einen mehrkernigen Komplex, insbesondere um einen Komplex mit zumindest einer Metall-Metallbindung.

[0010] Nach einer vorteilhaften Ausführungsform ist zumindest ein Zentralatom des Metallkomplexes ausgewählt aus der Gruppe der Platinmetalle, folgende Elemente umfassend: Ruthenium, Rhodium, Palladium, Osmium, Iridium und Platin. Insbesondere sind Rhodiumkomplexe bevorzugt.

[0011] Nach einer vorteilhaften Ausführungsform ist das Zentralatom ein neutrales oder geladenes, insbesondere positiv geladenes, Übergangsmetallatom.

[0012] Unter Lochleitern werden die typische Materialien, die in der OLED lochleitend wirken, wie NPB (N,N'-di-1-naphthyl-diphenylbenzidin, HOMO = 5,5 eV; LUMO = 2,4 eV) oder Naphdata (4,4',4''-Tris(N-(1-naphthyl)-N-phenyl -amino)-triphenylamin; HOMO = 5,1 eV; LUMO = 2,3 eV) verstanden.

[0013] Die Dotierung wird im Folgenden in relativen Schichtdicken angeben d.h. x % bedeutet, dass die Depositionsrate des Dotanden x % im Bezug auf die Depositionsrate der Matrix beträgt.

[0014] Vorteilhafterweise wird als neutraler Metallkomplex ein Komplex mit einer so genannten "paddle-wheel / Schaufelrad" Struktur eingesetzt, wobei besonders bevorzugt zwei- und mehrkernige Metallkomplexe mit zumindest einer Metall-Metallbindung verwendet werden, wie sie beispielsweise aus "Cotton FA, Gruhn NE, Gu J, Huang P, Lichtenberger DL, Murillo Ca, Van Dorn LO und Wilkinson CC: "Closed Shell Molecules That Ionize More Readily Than Cesium" in Science, 2002, 298; 1971-1974 bekannt sind. Ebenfalls beschrieben werden diese Strukturen in der WO 2005/086251. Dort wird jedoch davon ausgegangen, dass mehrkernige Metallkomplexe mit Schaufelradstruktur "paddle-wheel" als n-Dotanden wirken. Dies trifft aber nicht auf alle Paddle-Wheel-Komplexe bzw. die dort genannten Strukturen zu, wie vorliegend gezeigt werden konnte.

[0015] In der WO 2005/086251 A2 werden Komplexe mit Schaufelradstruktur als typische n-Dotanden vorgestellt. Um die Verwendbarkeit von Dirhodium-tetra-trifluoroacetat (PDW-2), einem typischen Vertreter der Metallkomplexe mit starkem Lewis-Säure Charakter, wie sie vorliegend als p-Dotanden unter Schutz gestellt werden sollen, als n-Dotand zu überprüfen, wurde folgendes Experiment durchgeführt:

[0016] Auf einer ITO (Indium-tin-oxide = indiumdotiertes Zinnoxid) Elektrode wurde durch thermisches Verdampfen eine 150 nm dicke Schicht des Elektronenleiters BCP (= 2,9-Dimethyl-4,7-diphenyl-1,10-phenanthrolin) abgeschieden. Als Gelelenelektrode diente eine 150 nm dicke Aluminiumschicht. Figur 1 zeigt das Ergebnis, wobei ein 4 mm² großes Bauelement gemessen wurden das die durch Quadrate markierte typische Kennlinie ergab (Figur 1 Quadrate).

[0017] In einem zweiten Experiment werden in die

BCP-Schicht durch Koverdampfung 10% PDW-2 eindotiert. Die durch Kreise in Figur 1 markierte Kennlinie unterscheidet sich nur unwesentlich von der Kennlinie des reinen BCP. Damit ist PDW-2 generell nicht als n-Dotand einsetzbar, insbesondere nicht in einer OLED und den darin verwendeten typischen Elektronenleitern mit einem typischen HOMO im Bereich 5,8 - 6,2 eV bzw. einem typischen LUMO im Bereich von 3,0 - 2,4 eV.

[0018] Analog zum oben beschriebenen Experiment wird PDW-2 durch Koverdampfung in den Lochleiter NPB (= Bis-N,N,N',N'-(naphthyl-phenyl)benzidin) eindotiert. Für eine Dotierung von 0% (Kreise voll), 1% (Quadrate), 5% (Dreiecke) und 10% (Kreise leer) ergaben sich die in Figur 2 dargestellten Kennlinien.

[0019] Diese demonstrieren eindeutig die Möglichkeit zur p-Dotierung von lochleitenden Matrixmaterialien durch PDW-2. Erstaunlicherweise können aus Aluminium keine Löcher injiziert werden (negativer Ast der x-Achse), wodurch sich ein Gleichrichtungsfaktor von $3 \cdot 10^{-7}$ ergibt. Für eine effektive Dotierung reichen nur wenige relative Schichtdicken % aus (insbesondere 0 - 50%, besonders bevorzugt 0 - 15%). Die Kennlinien zwischen 1 - 10% PDW-2 in NPB sind nahezu identisch. Die Kennlinien sind zudem sehr steil. Bei höheren Spannungen sättigt die Kennlinie, wodurch ein strombegrenzendes Verhalten resultiert.

[0020] Die Dotierung organischer Matrixmaterialien mit p-Dotanden ist von entscheidender Relevanz für organische Leuchtdioden. Lumineszenz (cd/m^2), Effizienz (cd/A) und Lebensdauer (h) organischer Leuchtdioden hängen stark von der Exzitonendichte in der lichtemittierenden Schicht und der Qualität der Ladungsträgerinjektion ab und werden unter anderem auch durch diese limitiert. Dotierte Transportschichten haben den Vorteil, dass an ihnen relativ zum Gesamtaufbau nur ein Bruchteil der zum Betrieb nötigen Spannung abfällt ($\ll 30\%$). Besonders bevorzugt ist die abfallende Spannung sogar um eine Zehnerpotenz oder mehr kleiner, so dass an den Transportschichten kein Spannungsabfall beobachtet wird.

[0021] Figur 3 zeigt den Aufbau einer OLED mit einzelnen Funktionsschichten. Zu erkennen ist die unterste und gleichzeitig dickste Schicht 1, die das Substrat, beispielsweise aus Quarz, Glas oder einer Metall- oder Polymerfolie, darstellt. Darauf liegt die transparente Elektrode 2, z.B. eine Elektrode aus einem transparenten leitenden Oxid. Transparente leitende Oxide (transparent conductive oxides, kurz "TCO") sind transparente, leitende Materialien, in der Regel Metalloxide, wie beispielsweise Zinkoxid, Zinnoxid, Cadmiumoxid, Titanoxid, Indiumoxid oder Indiumzinnoxid (ITO). Neben binären Metallsauerstoffverbindungen, wie beispielsweise ZnO , SnO_2 oder In_2O_3 gehören auch ternäre Metallsauerstoffverbindungen, wie beispielsweise $2\text{n}_2\text{SnO}_4$, CdSnO_3 , ZnSnO_3 , MgIn_2O_4 , GaInO_3 , $\text{Zn}_2\text{In}_2\text{O}_5$ oder $\text{In}_4\text{Sn}_3\text{O}_{12}$ oder Mischungen unterschiedlicher transparenter leitender Oxide zu der Gruppe der TCOs. Weiterhin entsprechen die TCOs nicht zwingend einer stöchi-

ometrischen Zusammensetzung und können auch p- oder n-dotiert sein. Im Fall von Top-emittierenden Dioden kann die Elektrode (2) eine (nicht transparente) Schicht aus Metallen sein. Das Substrat kann dann z.B. eine nicht durchsichtige Metallfolie sein. In Figur 3 ist beispielsweise eine ITO-Anode dargestellt. Auf dieser unteren Elektrode liegt die Lochleiterschicht 3, die gemäß der Erfindung aus einem organischen Matrixmaterial gebildet ist, das mit einem Metallkomplex, der eine Lewisäure darstellt dotiert ist.

[0022] Auf der Lochleiterschicht 3 liegt die eigentlich aktive Schicht der OLED, die emittierende Schicht 4. Darauf befindet sich noch die Elektronentransportschicht 5 und die Gegenelektrode 6. Die emittierende Schicht 4 kann z.B. eine organische funktionelle Schicht, z.B. auf der Basis von Polymeren wie Poly(p-phenylen-vinyl) (PPV) oder auf der Basis von so genannten niedermolekularen kleinen Molekülen ("small molecules") wie z.B. Tris(8-hydroxyquinolato)-aluminium (Alq) sein. Weiterhin kann es sich z.B. um phosphoreszente Triplettmitter wie Tri(phenylpyridino)Iridium(III), eindotiert in ein Matrixmaterial Bis-N,N'-(carbazoylbiphenyl) (CPB), handeln. Die Emitterschicht kann auch aus vielen Einzelmitterschichten bestehen wobei z.B. rotes, grünes oder blaues Licht emittiert wird. Zusätzlich zu den gezeigten Schichten 1 bis 6 ist noch der Schutz der OLED mittels einer Verkapselung zweckmäßig.

[0023] Über die elektrische Leitung 7 werden die Elektroden mit der Spannungsquelle verbunden.

[0024] Bei großflächigen Leuchtelementen spielt die Homogenität der Ladungsinjektion eine wichtige Rolle. Partikel, Kristallite oder Spitzen verursachen Feldüberhöhungen und damit potentielle Ausgangspunkte für "dark spots" die zum Ausfall des Leuchtelements führen können. Durch eine Lochinjektionsschicht, in die beispielsweise zweikernige Rhodiumacetatbasierte "paddle-wheel"-Komplexe eingebettet sind, kann eine Schicht erzeugt werden, die eine unerwartet hohe Stromtragfähigkeit in Verbindung mit einer inhärenten Strombegrenzung zeigt.

[0025] Bevorzugt werden Rhodiumkomplexe eingesetzt, wie Metallkomplex-Verbindungen mit einem Rh_2^{4+} Kern und einer Metall-Metallbindung, die aufgrund ihres hohen Lewis-Säure-Charakters als p-Dotand und Elektronenakzeptor wirken.

[0026] Besonders bevorzugt ist das Dirhodiumtetratri-fluoracetat (Fig. 4), das sich aufgrund seiner günstigen Sublimationseigenschaften sehr gut eignet. In der chemischen Literatur [F. A. Cotton, C. A. Murillo, R. A. Walton "Multiple Bonds between Metal Atoms" 3. Auflage, Springer Science and Business Media, Inc. 2005. 465-611.] konnte unerwarteter Weise auch kristallografisch gezeigt werden, dass sogar unsubstituierte Aromaten als Donor für den Rh_2^{4+} -Kern in axialer Position dienen können. Experimentell konnte durch die Dotierung von NPB oder Naphdata (Naphdata = 4,4',4"-Tris((N-naphthyl)-N-phenyl-amino)-triphenylamin) mit PDW-2 in oben beschriebenen Experimenten gezeigt

werden, dass dieser Vorgang eine p-Dotierung bewirkt.

[0027] Figur 4 zeigt die Struktur von $Rh_2(CF_3COO)_4$, an die das aromatische System Hexamethylbenzol koordiniert ist.

[0028] Auch die zu Rh_2^{4+} -Komplexen isoelektronischen Metallkomplexe zu dieser Struktur, insbesondere solche, die noch ähnliche Größen zeigen wie beispielsweise ein Analogon mit Ru_2^{2+} -Ionen als Zentralatome sind ebenfalls geeignet als p-Dotanden. Diese bewirken zum einen die Schaufelradstruktur und zum anderen die sehr hohe Lewis-Säure Azidität dieser Komplexe. Insbesondere geeignet sind die als p-Dotanden geeigneten Zentralatome bzw. Metallkomplexe, die direkt an aromatische Systeme, wie z.B. ungeladene aromatische Systeme koordinieren können. Als Zentralatome kommen daher insbesondere die Metalle der 6. bis 9. Nebengruppe in Betracht

[0029] Bei einem paddle-wheel-Komplex sind mindestens zwei, zumeist genau zwei Metallzentralatome insbesondere Übergangsmetallatome, durch 1, 2, 3, 4 oder mehr mehrzählige (insbesondere zweizählige) Liganden, die an die mindestens zwei Metallzentralatome jeweils ein Ligandenatom binden, überbrückt. Die Metallatome sind hierbei, je nach Radius, zumeist 4-fach mit den genannten Liganden koordiniert.

[0030] Der Lewisäurecharakter der paddle-wheel-Komplexe ist insbesondere dadurch gegeben, dass zumindest an einem Metallatom eine lockere oder leere Koordinationsstelle vorhanden ist, an der beispielsweise die Anlagerung eines aromatischen Ringes, wie in Figur 4 gezeigt, stattfinden kann. Die Koordinationsumgebung des Metallatoms ist bevorzugt so, dass eine Metall-Metall-Bindung besteht sowie 4 äquatoriale Bindungen zu Liganden. Im Regelfall weist daher die axiale Position die lockere oder leere Koordinationsstelle auf, wodurch der Komplex je nach Ligand und Zentralatom Lewis-azid ist.

[0031] Als Liganden eignen sich insbesondere alle zwei- oder mehrzähligen Liganden, bevorzugt elektronenziehende Liganden. Beispielsweise genannt seien die Anionen von elektronenziehenden Carbonsäuren, wie beispielsweise $CHal_xH_{3-x}COOH$, insbesondere $CF_xH_{3-x}COOH$ und $CCl_xH_{3-x}COOH$ (wobei x eine ganze Zahl zwischen 0 und 3 ist und Hal ein Halogenatom darstellt), $(CR_1, R_2, R_3)COOH$, wobei R_1, R_2 und R_3 unabhängig voneinander Alkyl, wie besonders bevorzugt H, methyl, ethyl, propyl, isopropyl, n-Butyl, sec-Butyl, tert-Butyl, sowie Benzoesäure und deren substituierte Analoga (o, p, m-Fluorbenzoesäure, o,p,m- Cyanobenzoesäure, Nitrobenzoesäure, Alkylbenzoesäuren mit fluorierten oder teilweise fluorierten Alkylgruppen, ggf. auch ein oder mehrfach substituiert, Pyridincarbonsäuren etc.) sein kann.

[0032] Die erfindungsgemäß verwendeten Metallkomplexe stellen vorzugsweise Moleküle dar, die unabhängig voneinander verdampfbar sind. Dabei versteht sich, dass einzelne Metallkomplexe jeweils untereinander oder mit anderen Komponenten wie dem Matrixmaterial

gebunden sein können.

[0033] Rein formal könnten die Valenzelektronen des PDW-2 wie folgt berechnet werden:

5 In der Gruppe IX mit 4 einfach negativ geladenen zweizähligen Liganden ergibt sich folgendes Bild für Metall-Metall:

4 x 4e = 16 Elektronen von den Liganden

10 1 x 2e = 2 von der Einfachbindung zwischen Rh-Rh

2 x 9e = 18 vom Rhodium

15 Summe 36, damit hat jedes Rh Edalgaskonfiguration d.h. stabil Alternativ ergibt sich die Summe 36 für andere Metalle bei gleichen Liganden:

Metalle der Gruppe 6: Metall - Metall-Vierfachbindung d.h. $\sigma, 2 \times \pi, 1 \times \delta$ -Bindung besetzt

20 Metalle der Gruppe 7: Metall - Metall-Dreifachbindung d.h. $\sigma, 2 \times \pi, 1 \times \delta$ -Bindung, $1 \times \delta^*$ besetzt

Metalle der Gruppe 8: Metall - Metall-Zweifachbindung d.h. $\sigma, 2 \times \pi, 1 \times \delta$ -Bindung, $1 \times \delta^*, 1 \times \pi^*$ besetzt

25 Metalle der Gruppe 9: Metall - Metall-Einfachbindung d.h. $\sigma, 2 \times \pi, 1 \times \delta$ -Bindung, $1 \times \delta^*, 2 \times \pi^*$ besetzt

[0034] Dabei versteht sich, dass einzelne Metallkomplexe jeweils untereinander oder mit anderen Komponenten wie dem Matrixmaterial gebunden sein können. Durch die Bindungsbildung der Donator-Akzeptorwechselwirkung und die Molekülgröße werden die Dopanten in der Matrix fixiert.

30 **[0035]** Als organische Matrixmaterialien eignen sich alle gängigen Lochleitermatrizen, wie beispielsweise NPB; Naphdata; N,N'-Bis(naphthalen-1-yl)-N,N'-bis(phenyl)-benzidine; N,N'-Bis(naphthalen-2-yl)-N,N'-bis(phenyl)-benzidine; N,N'-Bis(3-methylphenyl)-N,N'-bis(phenyl)-benzidine; N,N'-Bis(3-methylphenyl)-N,N'-bis(phenyl)-9,9-spirobifluorene; N,N'-Bis(naphthalen-1-yl)-N,N'-bis(phenyl)-9,9-spirobifluorene; N,N'-Bis(3-methylphenyl)-N,N'-bis(phenyl)-9,9-dimethylfluorene; N,N'-Bis(3-naphthalen-1-yl)-N,N'-bis(phenyl)-9,9-dimethylfluorene; N,N'-Bis(3-methylphenyl)-N,N'-bis(phenyl)-9,9-diphenylfluorene; N,N'-Bis(3-naphthalen-1-yl)-N,N'-bis(phenyl)-9,9-diphenylfluorene; 2,2',7,7'-Tetrakis(N,N-diphenylamino)-9,9'-spirobifluorene; 9,9-Bis[4-(N,N-bis(biphenyl-4-yl-amino)phenyl)]-9H-fluorene; 9,9-Bis[4-(N,N-bis(naphthalen-2-yl-amino)phenyl)]-9H-fluorene; 9,9-Bis[4-(N,N'-bis(naphthalen-2-yl-N,N'-bis-phenyl-amino)-phenyl)]-9H-fluorene; 2,2',7,7'-Tetrakis[(N-naphthalenyl(phenyl)-amino)-9,9-spirobifluorene; N,N'-bis(phenanthren-9-yl)-N,N'-bis(phenyl)-benzidine; 2,7-Bis[N,N-bis(9,9-spiro-bifluorene-2-yl)-amino]-9,9-spirobifluorene; 2,2'-Bis[N,N-bis(biphenyl-4-yl-amino)-9,9-spirobifluorene; 2,2'-Bis(N,N-di-phenyl-amino)-9,9-spirobifluorene; Phthalocyanine-Coppercomplex;

4,4',4''-Tris(N-3-methylphenyl-N-phenyl-amino)triphenylamine; 4,4',4''-Tris(N-(2-naphthyl)-N-phenyl-amino)triphenylamine; 4,4',4''-Tris(N-(1-naphthyl)-N-phenyl-amino)triphenylamine; 4,4',4''-Tris(N,N-diphenyl-amino)triphenylamine; Titanium oxide phthalocyanine; 2,3,5,6-Tetrafluoro-7,7,8,8,-tetracyano-quinodimethane; Pyrazino[2,3-f][1,10]phenanthroline-2,3-dicarbonitrile; N,N,N',N'-Tetrakis(4-methoxyphenyl)benzidine; 2,7-Bis[N,N-bis(4-methoxy-phenyl)amino]-9,9-spirobifluorene; 2,2'-Bis[N,N-bis(4-methoxy-phenyl)amino]-9,9-spirobifluorene; 1,3-Bis(carbazol-9-yl)benzene; 1,3,5-Tris(carbazol-9-yl)benzene; 4,4',4''-Tris(carbazol-9-yl)triphenylamine; 4,4'-Bis(carbazol-9-yl)biphenyl; 4,4'-Bis(9-carbazolyl)-2,2'-dimethyl-biphenyl; 2,7-Bis(carbazol-9-yl)-9,9-dimethylfluorene und 2,2',7,7'-Tetrakis(carbazol-9-yl)-9,9'-spirobifluorene.

[0036] Die experimentell gefundene Strombegrenzung wurde bisher bei keiner der publizierten für die Dotierung geeigneten Materialsysteme beobachtet. Dieser Aspekt ist für großflächige organische Leuchtdioden besonders wichtig, da er eine Homogenisierung der Leuchtdichte bewirkt. Feldüberhöhungen an Partikeln oder Spitzen im Substratmaterial werden durch Schichten mit Strombegrenzung ausgeglichen, da der maximale Stromfluss nicht mehr vom angelegten Feld abhängt.

[0037] Im Folgenden wird die Erfindung noch anhand einiger experimenteller Ergebnisse verdeutlicht:

Beispiel zu Figur 5:

[0038] Analog zum oben beschriebenen Experiment wird PDW-2 durch Koverdampfung in den Lochleiter NPB (= Bis-N,N,N',N'-(naphthyl-phenyl)benzidin) eindotiert. Für eine Dotierung von 0%, 1%, 5% und 10% und 100% PDW2 ergeben sich die in Figur 5 dargestellten Kennlinien.

[0039] Eine zusätzliche Bande im UV-Spektrum im Bereich zwischen 550-600 nm zeigt die Dotierfähigkeit von NPB durch PDW-2.

[0040] Die Grafik von Figur 6 zeigt das Photolumineszenzspektrum der im oben beschriebenen Beispiel zu Figur 5 dargestellten Schichten. Bei Anregung der Schicht mit UV-Licht von 342 nm nimmt die Fluoreszenz der NPB Schicht stetig ab. Ganz im Einklang zu anderen Dotanten löscht auch PDW-2 die Fluoreszenz.

Beispiel zu Figur 7:

[0041] Auf einer ITO (Indium-tin-oxide = indiumdotiertes Zinnoxid) Elektrode werden nacheinander durch thermisches Verdampfen folgende Schichten abgeschieden, um eine organische Leuchtdiode auf zu bauen (Alq = Aluminiumtrishydroxychinolinat, LiF = Lithiumfluorid).

a. 50 nm NPB; 40 nm NPB; 40 nm Alq; 0.7 nm LiF; 200 nm Al (Kreise voll)

b. 50 nm NPB:PDW-2 [10%]; 40 nm NPB; 40 nm

Alq; 0.7 nm LiF; 200 nm Al (Kreise leer)

[0042] Durch den Einsatz der dotierten Lochinjektionsschicht wird in der I-V-Kennlinie die Spannung von 5.77 V auf 5.03 V reduziert, um eine Stromdichte von 10 mA/cm² zu erreichen. Die Effizienz dieser Diode wird dadurch deutlich verbessert, wie aus Figur 7 ersichtlich ist.

[0043] Durch die Reduzierung der Versorgungsspannung wird die Leuchtdichte von 1000 cd/m² schon bei 6.18 V mit der dotierten Lochinjektionsschicht und erst bei 7.10V mit der undotierten Lochinjektionsschicht erreicht (Figur 8).

Beispiel zu Figur 9:

[0044] PDW-2 ist in Aufbauten analog dem Beispiel zu Figur 5 ähnlich effizient, wie andere literaturbekannte Dopanden z.B. MoO₃ oder F₄TCNQ wie der hier gezeigte Vergleich beweist.

Beispiel zu Figur 10:

[0045] Die Ladungsträgerdichte kann in anderen Lochleitern wie Naphdata durch den Dopanden PDW-2 ebenfalls erhöht werden.

[0046] Transiente Dunkelstrommessungen zeigen, dass bei einer Dotierung von 10% PDW-2 in Naphdata die Mobilität nahezu konstant bleibt. Wie das Beispiel zu Fig. 10 demonstriert, steigt die für die organische Leuchtdiode zur Verfügung stehende Ladungsträgerdichte stark an, was sich sehr positiv auf die Kennlinien von organischen Leuchtdioden auswirkt.

(σ = Leitfähigkeit, μ = Mobilität, n = Zahl der Ladungsträger, e = Elementarladung)

Beispiel zu Figur 11:

[0047] Eine analog Beispiel zu Figur 7 aufgebaute Leuchtdiode mit Naphdata statt NPB in der Lochinjektionsschicht.

a. 50 nm Naphdata; 40 nm NPB; 40 nm Alq; 0.7 nm LiF; 200 nm Al (Kreise voll)

b. 50 nm Naphdata:PDW-2 [10%]; 40 nm NPB; 40 nm Alq; 0.7 nm LiF; 200 nm Al (Kreise leer)

[0048] Durch den Einsatz der dotierten Lochinjektionsschicht wird in der I-V-Kennlinie die Spannung von 11.6 V auf 8.0 V reduziert, um eine Stromdichte von 10 mA/cm² zu erreichen. Die Effizienz dieser Diode wird dadurch deutlich verbessert (Figur 11)

Beispiel zu Figur 12:

[0049] Durch die Reduzierung der Versorgungsspannung wird die Leuchtdichte von 1000 cd/m² schon bei

10.6 V mit der dotierten Lochinjektionsschicht und erst bei 13.9 V mit der undotierten Lochinjektionsschicht erreicht (Figur 12).

[0050] Die experimentell gefundene Strombegrenzung wurde bisher bei keiner der publizierten für die Dotierung geeigneten Materialsysteme beobachtet. Dieser Aspekt ist für großflächige organische Leuchtdioden besonders wichtig, da er eine Homogenisierung der Leuchtdichte bewirkt. Feldüberhöhungen an Partikeln oder Spitzen im Substratmaterial werden durch Schichten mit Strombegrenzung ausgeglichen, da der maximale Stromfluss nicht mehr vom angelegten Feld abhängt.

[0051] Die Erfindung zeichnet sich insbesondere dadurch aus, dass die verwendeten Materialien OLED kompatibel sind und dass beispielsweise in den bevorzugten zweikernigen Metallkomplexen mit der Metall-Metallbindung formal die Ladung beim Stromtransport im Molekül auf zwei Metallatome verteilt wird, was zur Stabilität der Gesamtschicht beiträgt.

[0052] Die Erfindung betrifft die Verwendung eines Metallkomplexes als p-Dotand für ein organisches halbleitendes Matrixmaterial, ein organisches Halbleitermaterial und eine organische Leuchtdiode. Die Erfindung offenbart dabei die Verwendung von Metallkomplexen, die als Lewis-Säuren fungieren als p-Dotanden in organischen Matrixmaterialien.

[0053] Bevorzugte Ausführungsformen:

1. Verwendung eines Metallkomplexes als p-Dotand zur Dotierung eines lochleitenden organischen Matrixmaterials, wobei der Metallkomplex ein Metallkomplex mit Lewisäureeigenschaft ist und als Elektronenpaarakzeptor wirkt.

2. Verwendung nach Ausführungsform 1, wobei der Metallkomplex ein mehrkerniger Metallkomplex ist.

3. Verwendung nach einer der vorstehenden Ausführungsformen 1 oder 2, wobei das Zentralatom des Metallkomplexes ein neutrales oder geladenes Übergangsmetallatom ist.

4. Verwendung nach einer der vorstehenden Ausführungsformen, wobei zumindest ein Zentralatom aus der 6. bis 9. Nebengruppe ausgewählt ist.

5. Verwendung nach der vorhergehenden Ausführungsform, wobei zumindest ein Zentralatom Rhodium ist.

6. Verwendung nach einer der vorstehenden Ausführungsformen, wobei der Metallkomplex ein mehrkerniger Metallkomplex ist, bei dem zumindest ein Ligand zwei Zentralatome koordinativ verbindet.

7. Verwendung nach einer der vorstehenden Ausführungsformen, wobei zumindest ein Zentralatom quadratisch planar von Liganden umgeben ist.

8. Verwendung nach einer der vorstehenden Ausführungsformen, wobei der Metallkomplex mehrkernig und symmetrisch aufgebaut ist.

9. Verwendung nach einer der vorstehenden Ausführungsformen, wobei die Liganden Carbonsäuren oder Carbonsäureanionen mit elektronenziehenden Substituenten sind.

10. Verwendung nach einer der vorstehenden Ausführungsformen, wobei zumindest ein Metallkomplex eine Schaufelradstruktur hat.

11. Halbleitendes Material, insbesondere organisches halbleitendes Material enthaltend zumindest ein organisches Matrixmaterial und einen p-Dotanden nach einem der Ausführungsformen 1 bis 10.

12. Organisches halbleitendes Material nach Ausführungsform 11, wobei das molare Dotierungsverhältnis von p-Dotand zu monomeren Einheiten eines polymeren Matrixmoleküls zwischen 1:1 und 1:100.000 beträgt.

13. Verfahren zur Herstellung eines organischen halbleitenden Materials enthaltend ein organisches Matrixmaterial und einen p-Dotanden, wobei als p-Dotand zumindest ein oder mehrere Metallkomplexe nach einem der Ausführungsformen 1 bis 10 verwendet werden.

14. Strahlungsemittierende Vorrichtung enthaltend ein organisches halbleitendes Material nach Ausführungsform 11 oder 12.

15. Strahlungsemittierende Vorrichtung nach der vorhergehenden Ausführungsform, wobei die strahlungsemittierende Vorrichtung eine organische Leuchtdiode ist, die zwei Elektroden eine Lochleitschicht und eine emittierende Schicht umfasst, wobei die Lochleitschicht einen oder mehrere Metallkomplexe nach einem der Ausführungsformen 1 bis 10 enthält.

[0054] Die Erfindung ist nicht durch die Beschreibung anhand der Ausführungsbeispiele beschränkt. Vielmehr umfasst die Erfindung jedes neue Merkmal sowie jede Kombination von Merkmalen, was insbesondere jede Kombination von Merkmalen in den Patentansprüchen beinhaltet, auch wenn dieses Merkmal oder diese Kombination selbst nicht explizit in den Patentansprüchen oder Ausführungsbeispielen angegeben ist.

55 Patentansprüche

1. Verwendung eines Metallkomplexes als p-Dotand zur Dotierung eines lochleitenden organischen Ma-

- trixmaterials, wobei der Metallkomplex ein Metallkomplex mit Lewisäureeigenschaft ist und als Elektronenpaarakzeptor wirkt und die Liganden Carbonsäuren oder Carbonsäureanionen mit elektronenziehenden Substituenten sind. 5
2. Verwendung nach Anspruch 1, wobei der Metallkomplex ein mehrkerniger Metallkomplex ist.
3. Verwendung nach einem der vorstehenden Ansprüche 1 oder 2, wobei das Zentralatom des Metallkomplexes ein neutrales oder geladenes Übergangsmetallatom ist. 10
4. Verwendung nach einem der vorstehenden Ansprüche, wobei zumindest ein Zentralatom aus der 6. bis 9. Nebengruppe ausgewählt ist. 15
5. Verwendung nach dem vorhergehenden Anspruch, wobei zumindest ein Zentralatom Rhodium ist. 20
6. Verwendung nach einem der vorstehenden Ansprüche, wobei der Metallkomplex ein mehrkerniger Metallkomplex ist, bei dem zumindest ein Ligand zwei Zentralatome koordinativ verbindet. 25
7. Verwendung nach einem der vorstehenden Ansprüche, wobei zumindest ein Zentralatom quadratisch planar von Liganden umgeben ist. 30
8. Verwendung nach einem der vorstehenden Ansprüche, wobei der Metallkomplex mehrkernig und symmetrisch aufgebaut ist.
9. Verwendung nach einem der vorstehenden Ansprüche, wobei die Liganden Anionen von elektronenziehenden Carbonsäuren sind und die Carbonsäuren Benzoesäuren oder substituierte Benzoesäuren sind. 35
10. Verwendung nach einem der vorstehenden Ansprüche, wobei die Liganden Anionen von elektronenziehenden Carbonsäuren sind und die Carbonsäuren Alkylbenzoesäuren mit fluorierten oder teilweise fluorierten Alkylgruppen sind. 40
11. Verwendung nach einem der vorstehenden Ansprüche 1 bis 9, wobei die Liganden Anionen von elektronenziehenden Carbonsäuren sind und die Carbonsäuren o, p, m-Fluorbenzoesäuren, o,p,m- Cyanobenzoesäuren oder Nitrobenzoesäuren sind. 50
12. Verwendung nach einem der vorstehenden Ansprüche, wobei der Metallkomplex eine Schaufelradstruktur hat. 55
13. Halbleitendes Material, insbesondere organisches halbleitendes Material enthaltend zumindest ein organisches Matrixmaterial und einen p-Dotanden, wobei der p-Dotand ein Metallkomplex mit Lewisäureeigenschaft ist, der als Elektronenpaarakzeptor wirkt und die Liganden des Metallkomplexes Carbonsäuren oder Carbonsäureanionen mit elektronenziehenden Substituenten sind.
14. Halbleitendes Material nach Anspruch 13, wobei das molare Dotierungsverhältnis von p-Dotand zu monomeren Einheiten eines polymeren Matrixmoleküls zwischen 1:1 und 1:100.000 beträgt.
15. Verfahren zur Herstellung eines halbleitenden Materials nach einem der Ansprüche 13 bis 14.
16. Strahlungsemitierende Vorrichtung enthaltend ein halbleitendes Material nach einem der Ansprüche 13 bis 14.
17. Strahlungsemitierende Vorrichtung nach dem vorhergehenden Anspruch, wobei die strahlungsemitierende Vorrichtung eine organische Leuchtdiode ist, die zwei Elektroden, eine Lochleitschicht und eine emittierende Schicht umfasst, wobei die Lochleitschicht das halbleitende Material enthält.

FIG 1

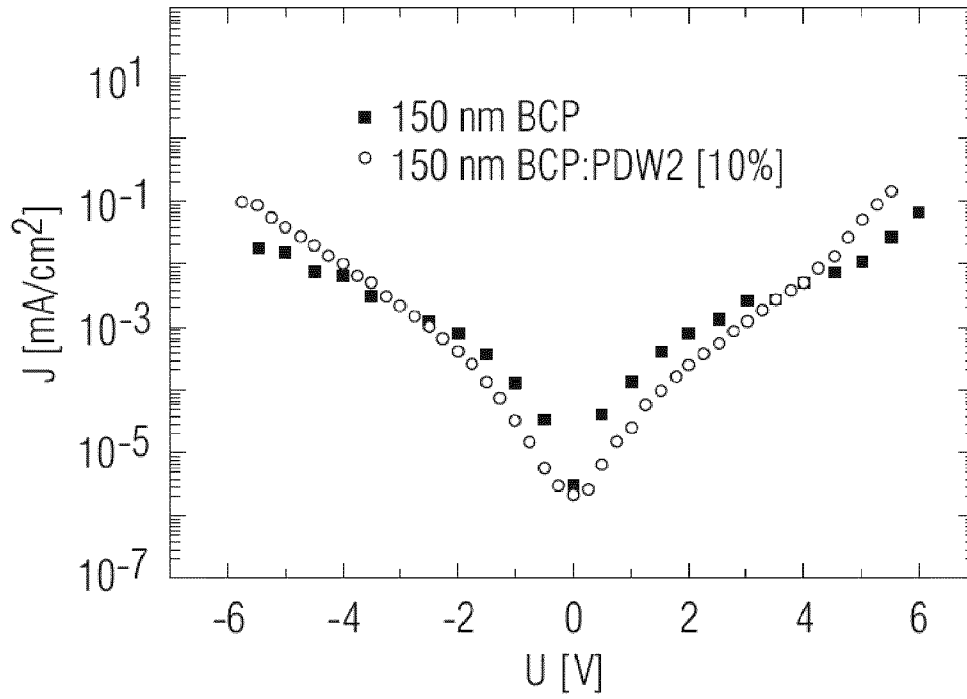


FIG 2

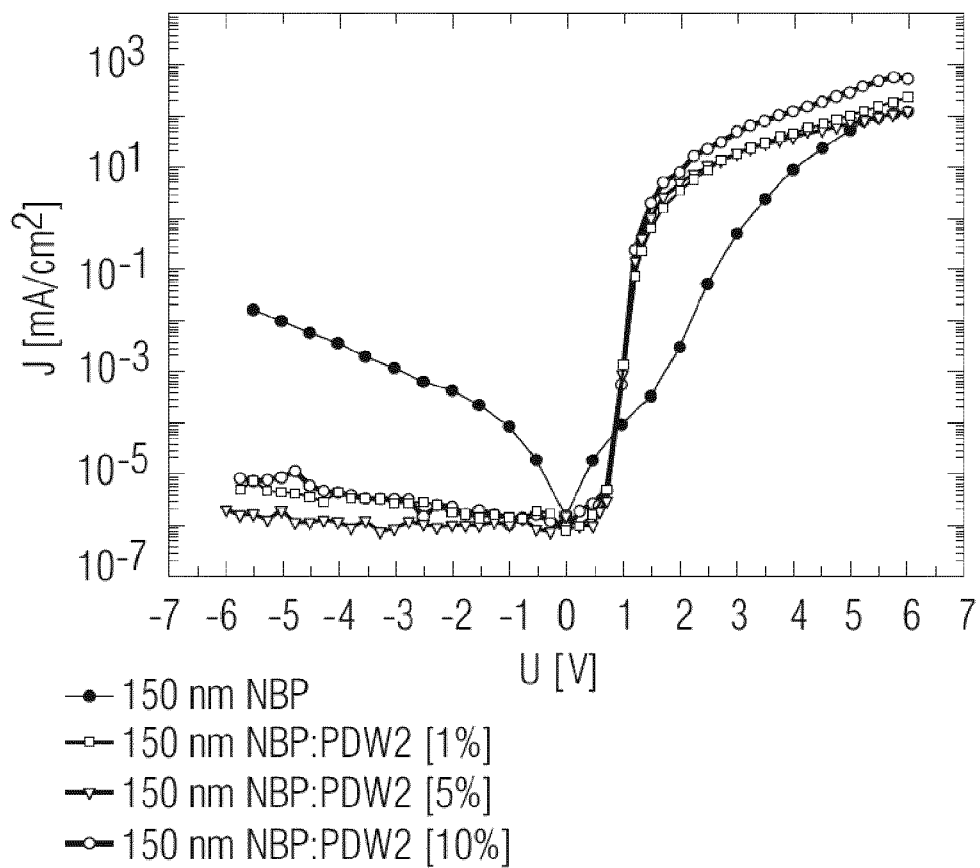


FIG 3

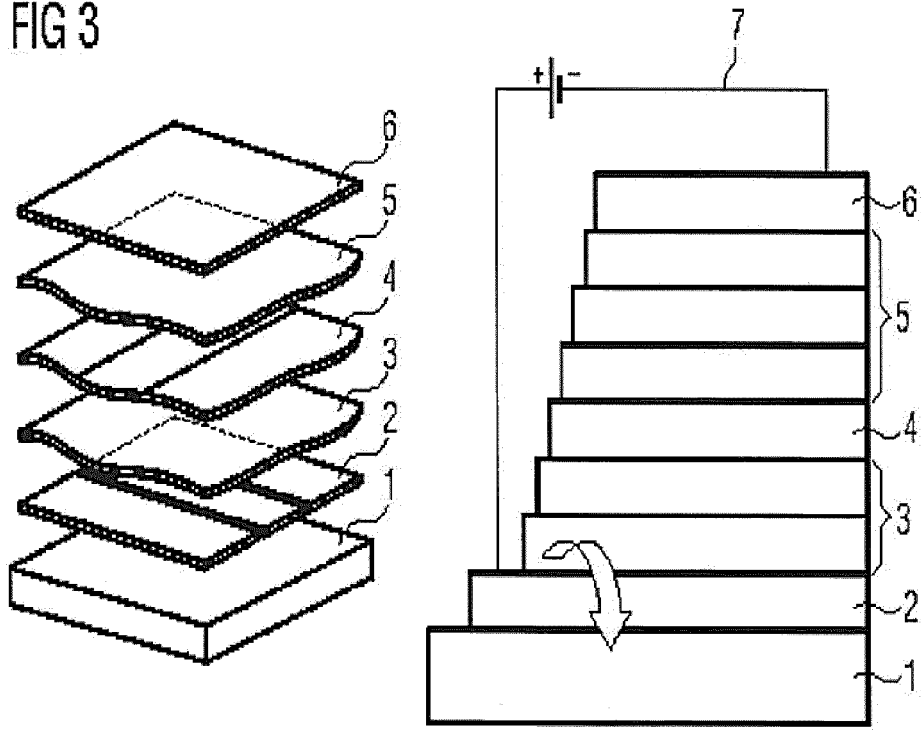


FIG 4

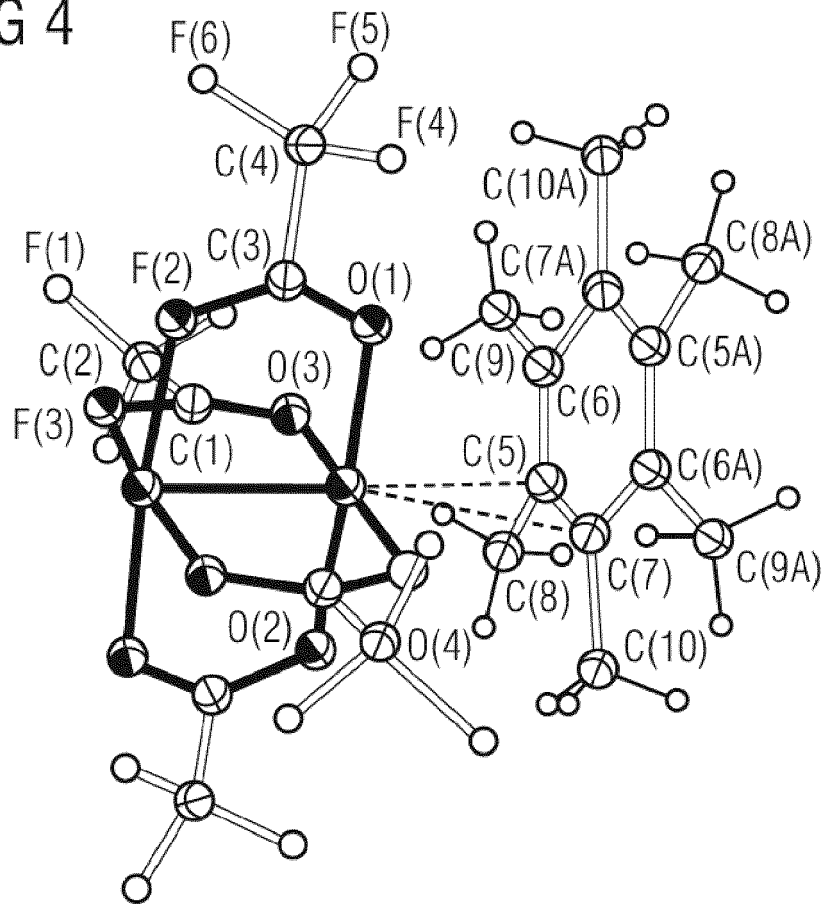
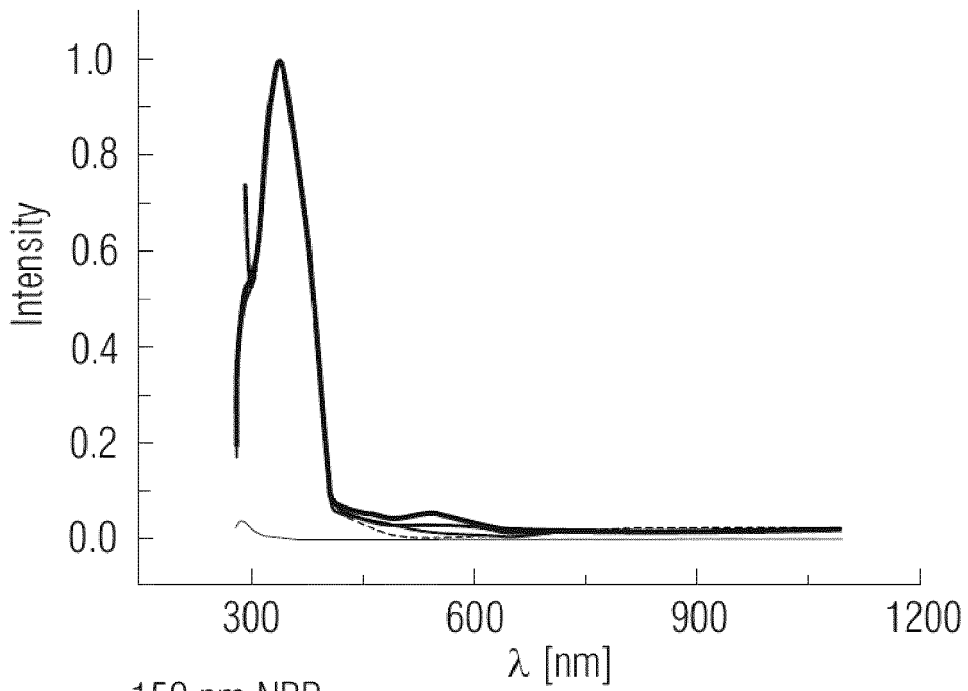


FIG 5



- 150 nm NBP
- 150 nm NBP:PDW2 [1%]
- 150 nm NBP:PDW2 [5%]
- 150 nm NBP:PDW2 [10%]
- 70 nm pure PDW2

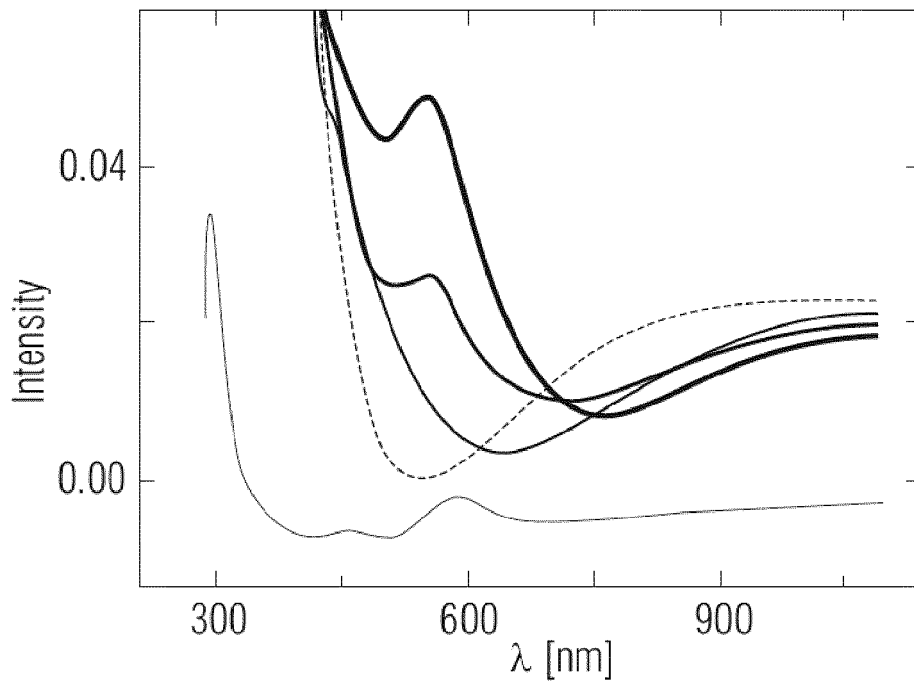


FIG 6

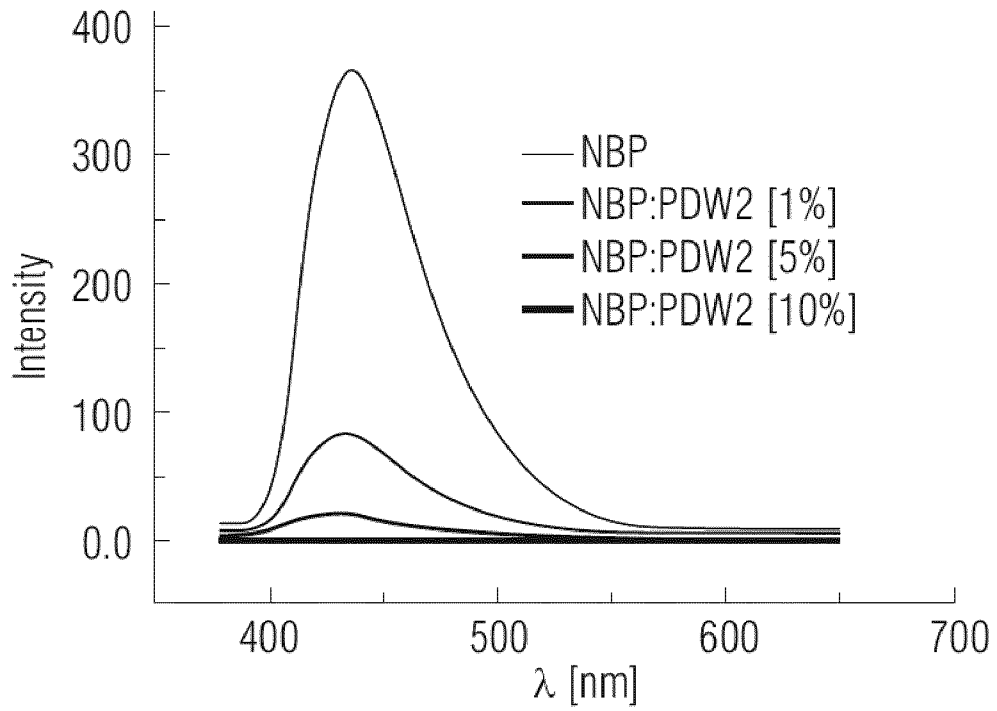


FIG 7

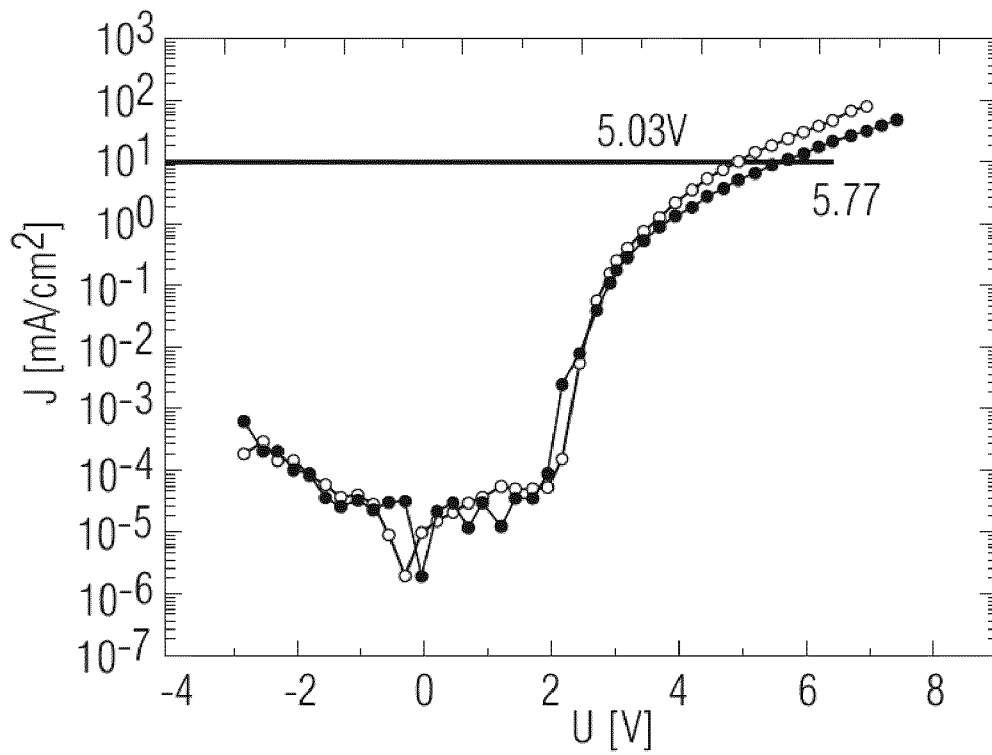


FIG 8

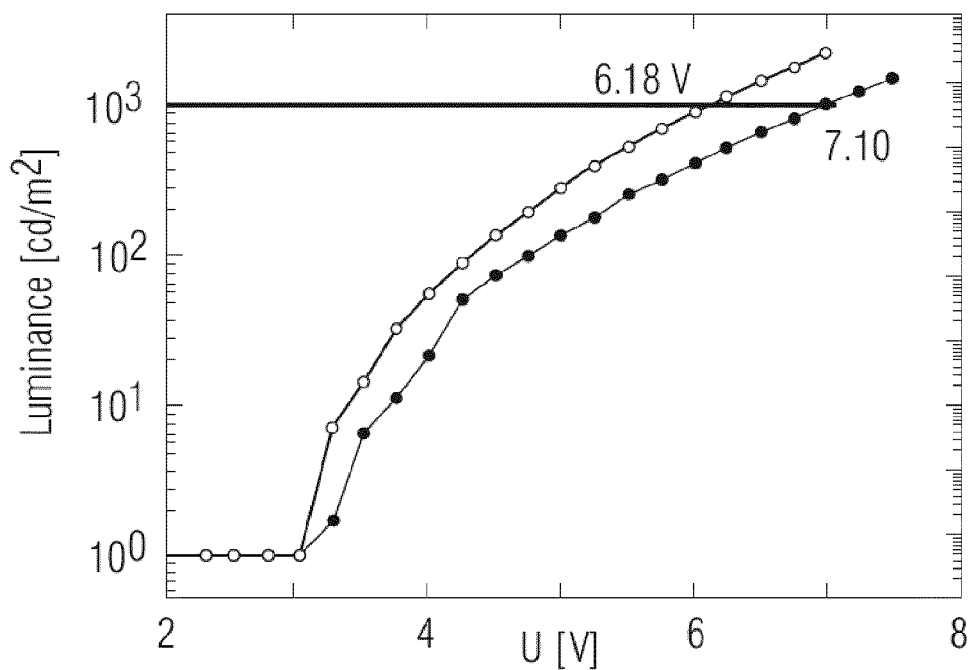


FIG 9

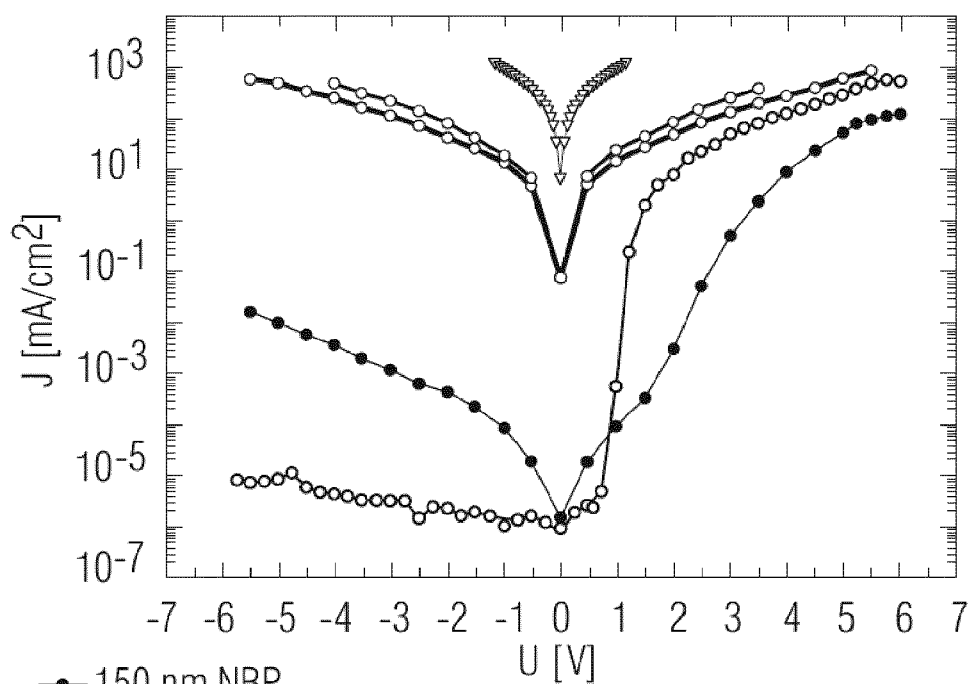
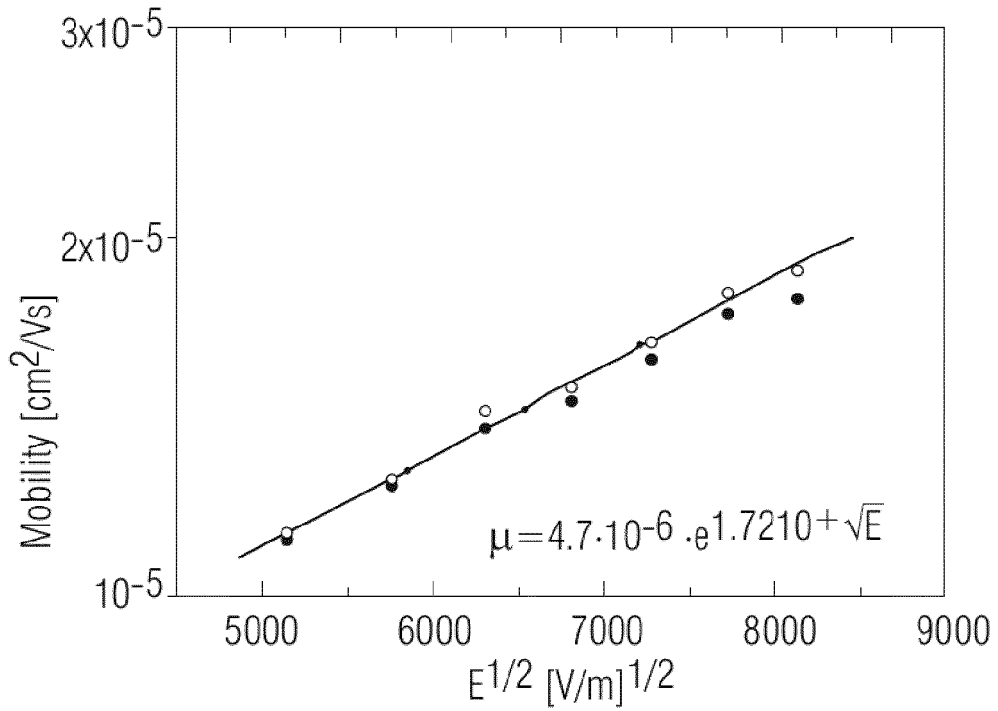


FIG 10



$$\mu = 0.786 \cdot \frac{d^2}{t_{\text{trans}} \cdot [V - V_{\text{bi}}]}$$

150 nm Naphdata
 150 nm Naphdata: P DW2 [10%]

$$\sigma = n \cdot e \cdot \mu$$

FIG 11

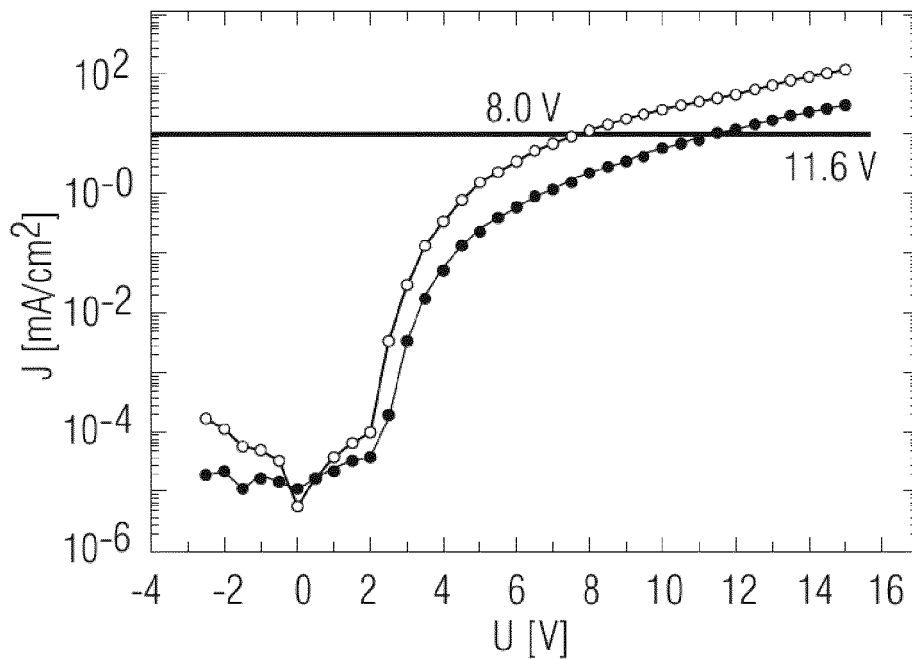
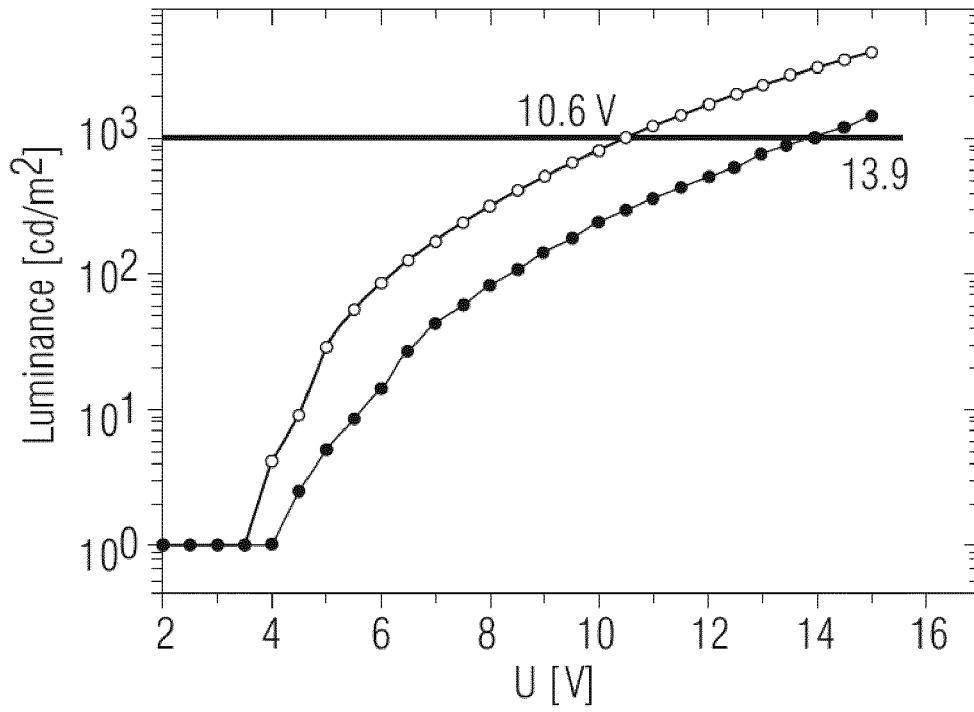


FIG 12





EUROPÄISCHER RECHERCHENBERICHT

Nummer der Anmeldung
EP 16 20 3223

5

10

15

20

25

30

35

40

45

50

55

EINSCHLÄGIGE DOKUMENTE			
Kategorie	Kennzeichnung des Dokuments mit Angabe, soweit erforderlich, der maßgeblichen Teile	Betrifft Anspruch	KLASSIFIKATION DER ANMELDUNG (IPC)
X	KRUEGER J ET AL: "MODIFICATION OF TiO2 HETEROJUNCTIONS WITH BENZOIC ACID DERIVATIVES IN HYBRID MOLECULAR SOLID-STATE DEVICES", ADVANCED MATERIALS, WILEY - V C H VERLAG GMBH & CO. KGAA, DE, Bd. 12, Nr. 6, 16. März 2000 (2000-03-16), Seiten 447-451, XP000923878, ISSN: 0935-9648, DOI: 10.1002/(SICI)1521-4095(200003)12:6<447::AID-ADMA447>3.0.CO;2-8 * das ganze Dokument * -----	1	INV. H01L51/30 H01L51/54 ADD. C07F15/00
A	JP 3 208689 A (DAINIPPON PRINTING CO LTD) 11. September 1991 (1991-09-11) * Zusammenfassung * -----	1-17	RECHERCHIERTE SACHGEBIETE (IPC) H01L
A	EP 1 289 030 A (SONY INT EUROP GMBH [DE]) 5. März 2003 (2003-03-05) * Abbildungen 1-6 * -----	1-17	
A	F.A. COTTON, E.V. CIKAREV, M.A. PETRUKHINA, S.-E. STIRIBA: POLYHEDRON, Bd. 19, 2000, Seiten 1829-1835, XP002494592, * das ganze Dokument * -----	1-17	
1 Der vorliegende Recherchenbericht wurde für alle Patentansprüche erstellt			
1 Recherchenort Den Haag		Abschlußdatum der Recherche 8. März 2017	Prüfer Königstein, C
KATEGORIE DER GENANNTEN DOKUMENTE X : von besonderer Bedeutung allein betrachtet Y : von besonderer Bedeutung in Verbindung mit einer anderen Veröffentlichung derselben Kategorie A : technologischer Hintergrund O : nichtschriftliche Offenbarung P : Zwischenliteratur		T : der Erfindung zugrunde liegende Theorien oder Grundsätze E : älteres Patentedokument, das jedoch erst am oder nach dem Anmeldedatum veröffentlicht worden ist D : in der Anmeldung angeführtes Dokument L : aus anderen Gründen angeführtes Dokument & : Mitglied der gleichen Patentfamilie, übereinstimmendes Dokument	

EPO FORM 1503 03.82 (P04C03)

**ANHANG ZUM EUROPÄISCHEN RECHERCHENBERICHT
 ÜBER DIE EUROPÄISCHE PATENTANMELDUNG NR.**

EP 16 20 3223

5 In diesem Anhang sind die Mitglieder der Patentfamilien der im obengenannten europäischen Recherchenbericht angeführten Patentdokumente angegeben.
 Die Angaben über die Familienmitglieder entsprechen dem Stand der Datei des Europäischen Patentamts am
 Diese Angaben dienen nur zur Unterrichtung und erfolgen ohne Gewähr.

08-03-2017

Im Recherchenbericht angeführtes Patentdokument	Datum der Veröffentlichung	Mitglied(er) der Patentfamilie	Datum der Veröffentlichung
JP 3208689 A	11-09-1991	JP 3208689 B2 JP H06190958 A	17-09-2001 12-07-1994
EP 1289030 A	05-03-2003	EP 1289030 A1 JP 2003197942 A KR 20030020856 A US 2003067000 A1	05-03-2003 11-07-2003 10-03-2003 10-04-2003

EPO FORM P0461

Für nähere Einzelheiten zu diesem Anhang : siehe Amtsblatt des Europäischen Patentamts, Nr.12/82

IN DER BESCHREIBUNG AUFGEFÜHRTE DOKUMENTE

Diese Liste der vom Anmelder aufgeführten Dokumente wurde ausschließlich zur Information des Lesers aufgenommen und ist nicht Bestandteil des europäischen Patentdokumentes. Sie wurde mit größter Sorgfalt zusammengestellt; das EPA übernimmt jedoch keinerlei Haftung für etwaige Fehler oder Auslassungen.

In der Beschreibung aufgeführte Patentdokumente

- WO 2005086251 A [0002] [0014]
- WO 2005086251 A2 [0015]

In der Beschreibung aufgeführte Nicht-Patentliteratur

- **COTTON FA ; GRUHN NE ; GU J ; HUANG P ; LICHTENBERGER DL ; MURILLO CA ; VAN DORN LO ; WILKINSON CC.** Closed Shell Molecules That Ionize More Readily Than Cesium. *Science*, 2002, vol. 298, 1971-1974 [0014]
- **F. A. COTTON ; C. A. MURILLO ; R. A. WALTON.** Multiple Bonds between Metal Atoms. Springer Science and Business Media, Inc, vol. 2005, 465-611 [0026]

专利名称(译)	使用金属络合物作为有机半导体基质材料的p-掺杂剂，有机半导体材料和有机发光二极管		
公开(公告)号	EP3157072A1	公开(公告)日	2017-04-19
申请号	EP2016203223	申请日	2008-06-18
[标]申请(专利权)人(译)	欧司朗OLED股份有限公司		
申请(专利权)人(译)	欧司朗OLED GMBH		
当前申请(专利权)人(译)	欧司朗OLED GMBH		
[标]发明人	SCHMID GUNTER KRAUSE RALF		
发明人	SCHMID, GÜNTER KRAUSE, RALF		
IPC分类号	H01L51/30 H01L51/54 C07F15/00		
CPC分类号	H01L51/002 H01L51/0084 H01L51/5052		
优先权	102007028238 2007-06-20 DE		
外部链接	Espacenet		

摘要(译)

本发明涉及金属配合物作为p-掺杂剂用于有机半导体基质材料，有机半导体材料和有机发光二极管的用途。本发明公开了在有机基质材料中用作路易斯酸的金属络合物作为p型掺杂剂的用途。

FIG 4

